

اثر فرایند اختلاط بر گرانزوی موئی و تورم پس از حدیده آمیزه لاستیکی

مهدی شیوا^۱، حسین آتشی^۲، حمید رضا گنجی^۱

۱- بیرجند، واحد تحقیق و توسعه کارخانه کویر تایر، صندوق پستی ۵۱۸

۲- زاهدان، دانشگاه سیستان و بلوچستان، گروه مهندسی شیمی، صندوق پستی ۹۸-۱۶۴۱۶۱

دریافت: ۸/۷/۲۸؛ پذیرش: ۸/۷/۲۸



مجله علوم و تکنولوژی پلیمر،

سال بیست و یکم، شماره ۵،

صفحه ۳۸۷-۳۹۹

ISSN : 1016-3255

چکیده

اثر تغییر شرایط اختلاط آمیزه لاستیکی در دو زمینه تغییر در ترتیب افزایش مواد و تغییر در دور چرخدنده مخلوطکن داخلی بر رفتار تورم پس از حدیده آمیزه لاستیکی به کمک اکسترودر آزمایشگاهی مطالعه شد. هم‌چنان، اثر تغییرات گفته شده بر گرانزوی موئی آمیزه‌ها به طور هم‌زمان بررسی شد. مشاهده شد، اثر عوامل مزبور بر گرانزوی موئی قابل توجه و بر تورم پس از حدیده کم رنگتر است. دو عامل کنترل کننده گرانزوی موئی و تورم پس از حدیده آمیزه‌ها، مقدار شکست زنجیرهای الاستومری و مقدار پراکنش کلوجه‌های پرکننده حین اختلاط معروفی شد. با بررسی تحلیلی نتیجه‌گیری شد که اهمیت عامل دوم برعکس تورم پس از حدیده در فرایند اکستروژن کم است. در نهایت با مصروف آمیزه‌های آزمایشی در اکسترودر صنعتی نتیجه‌گیری شد، اثر این عوامل فرایندی اختلاط در مقایسه با عوامل فرمول‌بندی بر تورم پس از حدیده و رفتار اکستروژن آمیزه اندک است. هم‌چنان، پارامتر تورم پس از حدیده به دست آمده از اکسترودر آزمایشگاهی بسیار موثرتر از پارامتر گرانزوی موئی رفتار اکستروژن آمیزه‌ها را پیش‌گویی می‌کند.

واژه‌های کلیدی

شکست کافوچه، اختلاط،
پراکنش پرکننده،
تورم پس از حدیده،
اکسترودر آزمایشگاهی

*مسئول مکاتبات، پیام‌نگار:

mehdi.shiva@gmail.com

Effect of Mixing Process on Mooney Viscosity and Die Swell Behavior of Rubber Compound

M. Shiva¹, H. Atashi² and H.R. Ganji¹

1. Research Center of Kavir Tire Co, P.O. Box: 518, Birjand, Iran

2. Department of Chemical Engineering, University of Sistan and Baluchestan, P.O. Box: 98-164161,
Zahedan, Iran

Received 24 April 2008; accepted 19 October 2008

Abstract

The effects of rubber mixing conditions, such as the changes in material loading procedure and rotor speed on die swell behavior were studied with the aid of an experimental small extruder. Also the changes were examined on Mooney viscosity of the compounds, simultaneously. It is shown that these changes in mixing condition considerably affect the Mooney viscosity of the compounds rather than die swell. Two control parameters of Mooney viscosity and die swell, i.e. "rubber breakdown" and "filler dispersion in mixing process" were identified and it may be concluded that the role of the second agent on die swell behavior is not very significant. Finally, by feeding the final compounds in an industrial extruder, it is observed that these processing variables on die swell and extrusion behavior of compound play little effect compared to the formulation variables. The experimental die swell parameter, however could predict the extrusion behavior much better than Mooney viscosity parameter.

Key Words

rubber break down, mixing,
filler dispersion,
die swell,
small extruder

(*) To whom correspondence should be addressed.

E-mail: mehdi.shiva@gmail.com

مقدمه

پرکننده با لاستیک و همچنین حبس زنجیرهای لاستیک در بین کلوخه‌های پرکننده، آن جزء محبوس جزیی از پرکننده به شمار می‌آید و کسر حجمی پرکننده را افزایش می‌دهد.

عوامل فرایندی را می‌توان به دو گروه مشخصه‌های فرایند اکستروژن و مشخصه‌های فرایند اختلاط دسته‌بندی کرد. مهم‌ترین مشخصه‌های فرایند اکستروژن مؤثر بر تورم پس از حدیده عبارتند از: سرعت برش، دما، ابعاد و طراحی قالب و سرعت خط اکسترودر [۱۱].

به عنوان مثال، در خروجی ثابت هرچه دما افزایش یابد، تورم پس از حدیده کاهش پیدا می‌کند [۱۲]. زیرا، با افزایش دامقدار گرانزوی کاهش می‌یابد و گرانزوی کم ماده به معنی مقاومت جریان یابی کمتر آن است. افرون بر این، سرعت آسایش مواد ویسکوالاستیک با افزایش دما افزایش می‌یابد. بنابراین، درصد بیشتری از کرنش‌های کشسان در مسیر قالب با افزایش دما به زوال می‌رود.

فرایند اختلاط که مرحله پیش از فرایند اکستروژن است، اثری ژرف بر ویژگی‌های محصول اکسترود شده نهایی دارد. سه زمینه عمدۀ اثرگذار عبارتند از: پراکنش پرکننده، چینش کائوچو و تاریخچه گرمایی. با توجه به این که پراکنش پرکننده و چینش کائوچو به شدت به متغیرهای فرایند اختلاط مشتمل بر زمان اختلاط، دور چرخنده، عامل پرسوندگی، ترتیب و روال اختلاط وابسته است، به نظر می‌رسد متغیرهای مزبور اثر قابل توجهی بر رفتار تورم پس از حدیده آمیزه داشته باشند.

در این مقاله، با اعمال تغییر در شرایط اختلاط در دو شاخه ترتیب اختلاط مواد و دور چرخنده مخلوط کن داخلی اثر آنها را بر گرانزوی مونی و رفتار فرایندی تورم پس از حدیده آمیزه لاستیکی با استفاده از اکسترودر آزمایشگاهی بررسی و ساز و کارهای حاکم بر این رفتارها مطالعه شده است.

تجربی

مواد

در این پژوهش، از مواد مصرفی در فرمول بندی آمیزه رویه تایر استفاده شده است.

دستگاه‌ها

مخلوط کن داخلی به ظرفیت L ۲۷۰ ساخت پومینی ایتالیا برای اختلاط مواد، اکسترودر آزمایشگاهی تغذیه سرد mm ۳۲ با نسبت D/L ۱۵

پایداری ابعادی محصولات اکستروژن به پدیده تورم پس از حدیده نیم رخ خروجی از دهانه قالب وابسته است. با این که پارامترهای فرمول بندی و فرایندی حاکم بر این پدیده تقریباً مشخص شده است، با این وجود واحدهای اکستروژن صنعت لاستیک همچنان با مشکل تکرارناپذیری خواص اکستروژن آمیزه‌های ویژه از یک پیمانه به پیمانه دیگر و از یک نوبت کاری به نوبت کاری دیگر مواجه هستند.

اکثر رئولوژی دانان پذیرفتۀ اند که رفتار پیچیده ویسکوالاستیک آمیزه‌های لاستیکی باید به اجزای ذخیره‌ای (یا کشسان) و اتلافی (یا گرانزو) تقسیم شود. آنها بر این نکته توافق دارند که کشسانی ذاتی یا مشخصه کشسانی یکی از مهم‌ترین عوامل مؤثر بر پدیده تورم پس از حدیده و در واقع علت اصلی مشکلات فراورش پلیمرها و آمیزه‌های لاستیکی است [۱-۵].

عوامل مؤثر را می‌توان به دو گروه عوامل فرمول بندی و فرایندی دسته‌بندی کرد [۶].

در بین عوامل فرمول بندی مشخصات پلیمر و پرکننده بیشترین اثر را بر فرایند اکستروژن و خواص نهایی محصول اکسترود شده دارند. بدیهی است، پلیمر نقشی کلیدی در تعیین کشسانی آمیزه لاستیکی دارد. تورم پس از حدیده تابع پیچیده وزن مولکولی و توزیع آن و شاخه‌ای شدن است [۷]. در یک برش فرضی هرچه وزن مولکولی بیشتر باشد، انرژی کشسان ذخیره شده بیشتر است. بنابر این، می‌توان پذیرفت تورم پس از حدیده با افزایش وزن مولکولی افزایش می‌یابد. مجموعه مشخصات ریزساختاری و درشت ساختاری کائوچو که در مراحل تولید و فرایند دچار نوسان می‌شود و نقش بسیاری در رفتار ویسکوالاستیک و اکستروژن پذیری کائوچو ایفا می‌کنند، عبارتند از وزن مولکولی و توزیع آن، دمای انتقال شیشه‌ای کائوچوی طبیعی و مصنوعی، درصد ژل، درصد سیس و ترانس و وینیل در کائوچوی بوتادی‌ان و درصد استیرن و بوتادی‌ان در کائوچوی SBR.

دوده بر تمام جنبه‌های فرایند اکستروژن اثر می‌گذارد [۸]. به طور کلی، پرکننده‌های تقویت‌کننده، به ویژه دوده، تورم پس از حدیده را کاهش می‌دهند. با افزایش مقدار پرکننده در فرمول بندی، مساحت سطح دوده و ساختار آن، مقدار تورم پس از حدیده کاهش می‌یابد. در باره دوده با ساختار ساده، تورم پس از حدیده به دلیل کاهش کسر حجمی پلیمر کاهش می‌یابد (سازو کار رقت). اما، برای دوده با مساحت سطح زیاد، علاوه بر ساز و کار رقت، ساز و کار لاستیک محبوس (occluded rubber) مطرح می‌شود [۹,۱۰]. زیرا، به دلیل برهم کنش

آمیزه‌ها تهیه و برای آزمون‌های گرانزوی مونی، چگالی و تورم پس از حدیده در اکسترودر آزمایشگاهی استفاده شد. در فاز دوم این مطالعه، تغییر در شرایط اختلاط با تغییر در دور چرخنده مخلوط کن برای آمیزه رویه تایر بایاس مطالعه شد. ۵ آمیزه رویه با دورهای ۴۰، ۴۵، ۵۰ و ۶۰ rpm در مرحله اصلی بدون هیچ تغییر دیگری در شرایط اختلاط تولید شد و فقط از نمونه‌های نهایی خواص مونی، چگالی، تورم پس از حدیده و پراکنش اندازه گیری شد. اندازه گیری تورم پس از حدیده به کمک اکسترودر آزمایشگاهی انجام شد. پس از انجام تنظیمات دمایی اکسترودر که شامل تنظیم دمای پوسته و پیچ است، آمیزه‌ها به شکل نوار باریک و پیوسته بریده و به دهانه اکسترودر تغذیه می‌شود. تغذیه باید پیوسته باشد تا نوار قطع نشود و برای تشخیص زمان خروج پیمانه جدید از دهانه اکسترودر از یک کرونومتر استفاده شد. نوار اکسترود شده پس از خروج از قالب روی تسمه قرار گرفته و هدایت می‌شود. برای به دست آوردن عدد قابل اعتماد برای تورم پس از حدیده ۱ تا ۷/۵ m از نوار اکسترود شده مورد نیاز است و حداقل باید ۳۰ cm از طول نوار بگذرد، تا تغییرات به مقدار ثابت میل کند. در این پژوهش، روش کار بدین ترتیب بود که از نوار اکسترود شده پس از گذشت یک روز ۱ متر جدا و

و مجهر به قالب مستطیل شکل به مساحت $2/76 \text{ cm}^2$ و سامانه کنترل دمای TCU برای کنترل دمای بدن و گرم کن الکتریکی برای گرمایش ناحیه قالب و پیش قالب و قابلیت تنظیم دور پیچ، گرانزوی سنج مونی برای اندازه گیری گرانزوی مونی آمیزه‌های لاستیکی، چگالی سنج برای اندازه گیری چگالی و Dispergrader برای اندازه گیری مقدار پراکنش دوده در آمیزه‌های لاستیکی به کار گرفته شد.

روش‌ها

در این پژوهش، در فاز اول سه آمیزه با کدهای Test1، Test2 و Test3 تنها با اعمال تغییر در ترتیب اختلاط دوده و روغن در بنبوری تولید شد. نحوه اختلاط در جدول ۱ ارائه شده است. اختلاط هر آمیزه در سه مرحله شامل: مرحله اصلی اول و دوم و مرحله نهایی انجام شد. آمیزه Test1 آمیزه شاهد است، در آمیزه Test2 بخشی از روغن در مرحله اصلی اول و باقی مانده در مرحله اصلی دوم اضافه شده است. تفاوت آمیزه ۱ و ۳ نیز در این است که در مرحله اصلی اول برای آمیزه 3 Test3 دوده در دو مرحله اضافه شده است. اختلاط آمیزه‌های گفته شده در مرحله نهایی مشابه هم است. در هر مرحله اختلاط، نمونه‌هایی از

جدول ۱ - ترتیب اختلاط مواد در مراحل مختلف برای آمیزه رویه رادیال (فرمول بندی یکسان).

مرحله اصلی ۱ (M1)					
کد فرمول بندی	مرحله ۱	مرحله ۲	مرحله ۳	مرحله ۴	مرحله ۵
M1-Test1	شکست کائوچو و افزودن مواد شیمیابی	افزودن دوده مرحله اول	افزودن روغن در دمای معین اختلاط	—	تخليه در دمای 160°C
M1-Test2	شکست کائوچو و افزودن مواد شیمیابی	افزودن دوده مرحله اول	افزودن نصف روغن در دمای معین اختلاط	—	تخليه در دمای 160°C
M1-Test3	شکست کائوچو و افزودن مواد شیمیابی	افزودن $2/3$ دوده مرحله اول	افزودن روغن در دمای معین اختلاط	افزودن $1/3$ دوده باقی مانده مرحله اول	تخليه در دمای 160°C
مرحله اصلی ۲ (M2)					
M2-Test1	افزودن M1 مرحله اول	افزودن دوده مرحله دوم	تخليه	—	—
M2-Test2	افزودن M1 مرحله اول	افزودن دوده مرحله دوم و روغن باقی مانده از مرحله اول	تخليه	—	—
M2-Test3	افزودن M1 مرحله دوم	افزودن دوده مرحله دوم	تخليه	—	—
مرحله نهایی					
F-Test1	افزودن M2 مرحله دوم	تخليه	—	—	—
F-Test2					
F-Test3					

نتایج و بحث

نتایج گرانروی مونی، چگالی و تورم پس از حذف آمیزه های فاز اول در سه مرحله اختلاط در جدول ۲ و نتایج آمیزه های فاز دوم در جدول ۳ را ارائه شده است. زمان ها و انرژی های اختلاط در مراحل مختلف برای تمام آمیزه ها یادداشت شده است. هم چنین، سرعت برش اعمال شده به آمیزه ها در شرایط ثابت اکستروژن در جدول ۴ ارائه شده است.

بررسی نتایج فاز اول

مطالعه تغییر زمان افزایش دوده به چرخه اختلاط و مقدار روغن بر گرانروی مونی آمیزه ها در مرحله اول

مقایسه نتایج جدول ۲ نشان می دهد، گرانروی مونی آمیزه 3 Test3 در مقایسه با آمیزه 1 Test1 به مقدار قابل ملاحظه ای بیشتر است. به نظر می رسد، تغییر در شرایط اختلاط به طور مستقیم روی مقدار شکست زنجیرهای پلیمری و مقدار پراکنش انبوهه پر کننده [۸,۹,۱۰,۱۳] اثر می گذارد. تغییر این خواص باعث تغییر در گرانروی مونی می شود.

با توجه به نتایج جدول ۲، با این که آمیزه 3 در مقایسه با زمان اختلاط طولانی تری داشته است، اما گرانروی مونی آمیزه مذبور بسیار بیشتر از آمیزه 1 است. از آن جا که بخشی از دوده در آمیزه

توزیع شد و مقدار تورم پس از حذف آمیزه به کمک معادله زیر محاسبه شد:

$$\%B = [(W / L\rho S_0)^{1/2} - 1] \times 100 \quad (1)$$

در این معادله B تورم پس از حذف آمیزه، ρ چگالی آمیزه، S_0 سطح مقطع قالب اکستروژن ($2/42 \text{ cm}^2$) و W/L وزن ۱ متر نوار اکستروژن شده پس از یک روز است.

سرعت برشی اعمال شده به آمیزه ها در فرایند اکستروژن در اکسترودر آزمایشگاهی با محاسبه سرعت جرمی خروجی (ρQ) از دهانه قالب و معادله (۲) به دست می آید [۳]:

$$\gamma^0 = \frac{32Q'}{\pi R^3} \quad R = \frac{2A}{P} \quad (2)$$

که در آن A و P به ترتیب مساحت و محیط قالب است. برای محاسبه سرعت برش از مقدار اصلاح شده سرعت حجمی (Q') استفاده شده است که با توجه به معادله تورم پس از حذف آمیزه، از معادله (۳) به دست می آید. m و m' به ترتیب مقدار جرم خروجی از اکسترودر با در نظر گرفتن تورم پس از حذف آمیزه و بدون آن است که به شکل زیر محاسبه می شود:

$$m' = \frac{m}{(1 + \frac{B}{100})^2} \quad (3)$$

$$m = \rho Q$$

جدول ۲ - شرایط اختلاط و نتایج گرانروی مونی و تورم پس از حذف آمیزه ها.

کد آمیزه	زمان اختلاط (s)	زمان اختلاط (kWh)	زمان اختلاط کل (s)	انرژی اختلاط کل (کWh)	انرژی اختلاط کل (کWh)	چگالی (g/cm³)	مقدار پراکنش ۰-۱۰	گرانروی مونی	درصد تورم
مرحله اصلی ۱									
۲۵/۱	۷۵/۴	-	۱۹۲/۰	۲۷/۱	۲۷/۱	۷۲	۷۲	۷۵/۴	۲۵/۱
۲۷/۴	۹۲/۲	-	۱۷۹/۰	۲۷/۰	۲۷/۰	۷۲	۷۲	۹۲/۲	۲۷/۴
۲۵/۶	۹۰/۹	-	۱۹۸/۰	۲۷/۸	۲۷/۸	۷۲	۷۲	۹۰/۹	۲۵/۶
مرحله اصلی ۲									
M1-Test1	۱۹۲/۰	۲۵۷	۳۵۴/۰	۵۲/۷	۵۲/۷	۷۲	-	۷۰/۵	۱۹
M1-Test2	۱۷۹/۰	۲۶/۵	۳۳۸/۰	۵۳/۵	۵۳/۵	۷۲	-	۸۴/۰	۲۱/۶
M1-Test3	۱۹۸/۰	۲۶/۴	۳۴۷/۰	۵۴/۲	۵۴/۲	۷۲	-	۸۹/۹	۲۰/۷
مرحله نهایی									
F-Test1	۱۶۳/۰	۱۰/۰	۵۱۷/۰	۶۲/۷	۶۲/۷	۷۲	۶/۸	۵۶/۳	۱۱/۹
F-Test2	۱۵۴/۰	۱۰/۰	۴۹۲/۰	۶۳/۵	۶۳/۵	۷۲	۶/۷	۶۳/۷	۱۲/۸
F-Test3	۱۵۳/۰	۱۰/۱	۵۰۰/۰	۶۴/۳	۶۴/۳	۷۲	۶/۸	۶۳/۵	۱۲/۲

مقایسه گرانزروی مونی آمیزه Test2 با دو آمیزه دیگر صحیح به نظر نمی‌رسد. زیرا، آمیزه یاد شده حاوی روغن کمتری است. با این حال این آمیزه دارای گرانزروی مونی بیشتر است که می‌توان دلایل زیر را برای آن بیان کرد:

۱- کاهش مقدار روغن در آمیزه Test2 باعث کاهش سرخوردن زنجیرهای پلیمری روی هم و افزایش مقاومت در برابر تغییر شکل می‌شود.

۲- کاهش روغن باعث افزایش سریع تر دمای آمیزه حین اختلاط و تخلیه سریع تر و کاهش زمان اختلاط آمیزه (حدود ۸ درصد) یعنی کاهش زمان شکست زنجیرها و پراکنش دوده می‌شود. این آثار باعث افزایش قابل توجه گرانزروی مونی در مقایسه با آمیزه ۱ شده است (حدود ۲۲ درصد).

مطالعه تغییرات گرانزروی مونی در مرحله اصلی ۱

گرانزروی مونی آمیزه‌ها در مرحله اصلی دوم در مقایسه با مرحله اصلی اول متناظر کاهش یافته است. با این که در این مرحله مقداری دوده به آمیزه اصلی ۱ اضافه می‌شود که اثر افزایشی بر گرانزروی مونی آمیزه دارد، اما این افزایش با شکست بیشتر زنجیرهای لاستیک و پراکنش بیشتر انبوههای پراکنش به دلیل اعمال تنفس‌های پرشی مخلوط کن جبران می‌شود. در این حالت نیز آمیزه اصلی ۱ کمترین گرانزروی مونی را دارد که دلیل زیر را می‌توان برای آن بیان کرد:

چون آمیزه اصلی Test1 با گرانزروی مونی کمتری وارد مخلوط کن شده است، به هنگام قرار گرفتن در معرض تش بشی اختلاط، گرمای

جدول ۴- سرعت پرش آمیزه‌های رویه در اکسترودر آزمایشگاهی

سرعت جرمی خرجی (g/s)	سرعت جرمی خرجی اصلاح (g/s)	سرعت برشی شدہ (s ⁻¹)	چگالی (g/cm ³)	کد آمیزه
۳	۷۹۲	۴۱.۸۶	۷/۱۵۱	M1-Test1
۲/۹	۷۷۹	۳۸/۸۷	۷/۱۵۶	M1-Test2
۲/۹	۷۸۴	۴۰/۱۳	۷/۱۵۲	M1-Test3
۴	۲/۸۲	۶۰/۵۱	۷/۱۷۴	M2-Test1
۳/۳۲	۲/۲۵	۴۸/۱۰	۷/۱۷۴	M2-Test2
۳/۲۴	۲/۲۲	۴۷/۶۴	۷/۱۷۴	M2-Test3
۲/۸۷	۲/۲۵	۴۸/۰۷	۷/۱۷۸	F-Test1
۲/۹۴	۲/۳۱	۴۹/۳۳	۷/۱۷۸	F-Test2
۲/۸۳	۲/۲۶	۴۸/۲۵	۷/۱۷۸	F-Test3

Test3 دیرتر به چرخه اختلاط افزوده می‌شود، بدینه است زمان پراکنش کمتری دارد و عدم پراکنش مناسب انبوهه‌های پراکنش باعث افزایش گرانزروی مونی شده است.

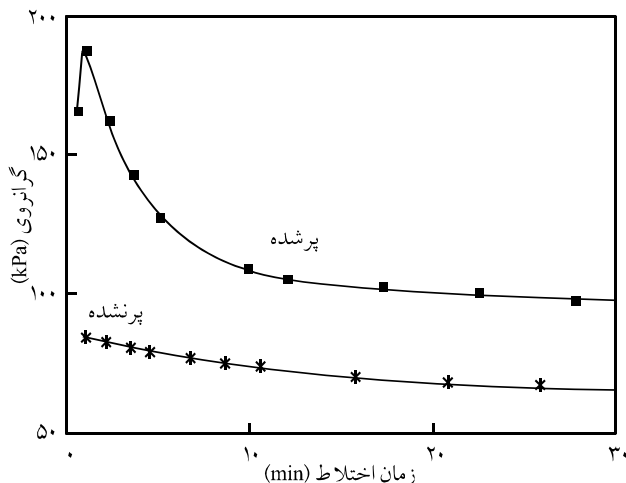
اثر شکست انبوهه‌های دوده بر گرانزروی مونی آمیزه لاستیکی نیاز به توضیح بیشتری دارد. در نگاه اول ممکن است به نظر بررسی کاهش اندازه انبوهه‌ها طی اختلاط باید علت کاهش گرانزروی باشد، اما نشان داده شده است که اندازه ذره اثر کمی بر گرانزروی دارد [۱۴]، به استثنای ذراتی که اندازه آنها کمتر از قطر حدود ۱۱ μm است که در این حالت هم گرانزروی آمیزه با کاهش اندازه ذره افزایش می‌یابد [۱۵].

از طرف دیگر، نتایج آزمون‌های SEM دوده نشان داده است که ساختار دوده با اختلاط به طور قابل توجه تغییر نمی‌کند، و Boosstra Medalia نیز دریافتند که ساختار انواع مشابه دوده که با جذب روغن، کاهش گرانزروی می‌شود، تحت تاثیر فرایند اختلاط قرار نمی‌گیرد. بنابراین، کاهش گرانزروی به دلیل شکست انبوهه‌های اولیه دوده نیست.

اما آنها [۱۵] پیشنهاد کرده‌اند که شکست کلوخه‌ها از راه کاهش دادن کسر حجمی مؤثر پراکنش در آمیزه منجر به کاهش گرانزروی مونی می‌شود. آنها اظهار کردند که کلوخه‌های پراکنش زنجیرهای لاستیک را به تله اندخته و این لاستیک به تله افتاده (trapped rubber) بخشی از پراکنش به شمار می‌آید. بنابراین، کسر حجمی مؤثر پراکنش و در نتیجه گرانزروی آمیزه از حد انتظار بیشتر است.

جدول ۳- مطالعه تغییر دور چرخنده بر رفتار رئولوژیکی و اکستروژن آمیزه رویه با یاس.

کد آمیزه	۰۴	۰۳	۰۲	۰۱	۰۰	شرایط اختلاط بنبوری در مرحله اصلی
سرعت چرخنده (rpm)	۶۰	۵۵	۵۰	۴۵	۴۰	زمان کل چرخه (s)
انرژی اختلاط (kWh)	۱۵۸	۱۶۴	۱۷۱	۱۸۱	۱۹۸	دما (°C)
دما (°C)	۲۹/۶	۲۸/۶	۲۷/۴	۲۸/۴	۲۸/۵	خواص رئولوژیکی و مقدار پراکنش دوده آمیزه نهایی رویه با یاس
گرانزروی مونی (g/cm ³)	۱۵۵	۱۵۵	۱۵۵	۱۵۵	۱۵۵	چگالی (g/cm ³)
مقدار پراکنش دوده (%)	۶۳/۸	۶۳/۹	۶۴/۲	۶۷/۷	۶۸/۲	خواص آمیزه رویه با یاس در اکسترودر آزمایشگاهی
وزن در متر درصد تورم	۱/۰۹۷	۱/۰۹۷	۱/۰۹۶	۱/۰۹۶	۱/۰۹۶	
	۳/۷	۴/۴	۴/۸	۴/۴	۴	



شکل ۱- اثر زمان اختلاط بر گرانزوی مونی آمیزه SBR پرنشده و پرشده با قسمت وزنی دوده N330 [۱۳].

زنجیرهای پلیمری موجب افزایش رفتار کشسان مجموعه می‌شود. بنابراین، همان عواملی که برای گرانزوی مونی مطرح شدند، مقدار شکست زنجیرهای پلیمری و پراکنش انبوههای پرکننده بیشترین اثر را بر تورم پس از حذف دارند. اما این که سهم هر یک از این دو عامل بر رفتار تورم پس از حذف دچار است، موضوعی است که در ادامه این پژوهش مطالعه شده است.

مطالعه تورم پس از حذف داده در مرحله اول

نتایج ارائه شده در جدول ۲ نشان می‌دهد، تورم پس از حذف آمیزه‌های M1-Test1 و M1-Test3 با یک دیگر برابر و از آمیزه Test2 کمتر است. در حالی که این آمیزه‌ها اختلاف ۱۵ واحدی در گرانزوی مونی نشان می‌دهند. اشاره شد، اختلاف زیاد گرانزوی مونی آمیزه‌های Test1 و Test3 مربوط به افزایش دیرتر بخشی از دوده به چرخه اختلاط است و از آن جا که زمان اختلاط (و انرژی‌های اختلاط) دو آمیزه اختلاف ناچیزی دارند. بنابراین، زمان شکست زنجیرهای الاستومری یکسان و این ساز و کار نباید اثر زیادی بر گرانزوی مونی در این مرحله داشته باشد. بنابراین، گرانزوی زیاد به دلیل پراکنش ضعیف انبوههای پرکننده است. از طرف دیگر، پراکنش ضعیف دوده به معنی حبس بیشتر زنجیرها و کاهش تعداد زنجیرهای آزاد است که باعث کاهش تورم پس از حذف می‌شود. بنابراین انتظار می‌رود، آمیزه Test3 که دارای مقدار پراکنش دوده کمتری است، تورم پس از حذف داده باشد. در حالی که نتایج نشان می‌دهد این دو آمیزه تورم پس از حذف دیده یکسانی دارند، می‌توان نتیجه گرفت مقدار پراکنش پرکننده اثری بر تورم پس از حذف داشته است. بیشتر بودن تورم پس از حذف دیده

ویسکوز کمتری در مقایسه با Test2 و آزاد کرده و افزایش دمای آمیزه آهسته‌تر و زمان اختلاط (زمان شکست لاستیک و پراکنش انبوههای پرکننده) افزایش می‌یابد. نتیجه آن، کاهش گرانزوی مونی Test1 در مقایسه با دو آمیزه دیگر است.

برای آمیزه Test2 باید توجه کرد، با وجود گرانزوی مونی زیاد آمیزه اصلی ۱، چون در مرحله اصلی دوم آمیزه مزبور، باقی مانده روغن به چرخه اختلاط افروده می‌شود. بنابراین، تنش‌های برشی و سرعت تولید گرما کاهش و زمان اختلاط افزایش می‌یابد. افزایش زمان (= افزایش زمان شکست لاستیک و زمان پراکنش پرکننده) در کنار اثر فیزیکی روغن از راه افزایش لغزندگی زنجیرها روی یک دیگر باعث کاهش گرانزوی مونی به مقداری کمتر از آمیزه ۳ شده است.

مطالعه تغییرات گرانزوی مونی در مرحله نهایی

در این مرحله نیز زمان اختلاط آمیزه Test1 بیشتر از دو آمیزه دیگر است. زیرا، گرانزوی مونی آمیزه اصلی ۲ این آمیزه از آمیزه‌های دیگر کمتر است. در نتیجه گرانزوی مونی آمیزه نهایی کمتر از آمیزه‌های Test2 و Test3 است.

بدیهی است آمیزه Test1 که بیشترین زمان اختلاط کل (مجموع زمان اختلاط سه آمیزه) را دارد، کمترین گرانزوی مونی را نیز دارد. در شکل ۱ اثر زمان اختلاط بر رفتار گرانزوی مونی آمیزه SBR پرشده با دوده N330 و آمیزه SBR پرنشده نشان داده شده است [۱۳]. دو ساز و کار شکست زنجیرهای کائوچو و شکست کلوخهای پرکننده عامل اصلی کاهش گرانزوی مونی با گذشت زمان هستند.

Riftar تورم پس از حذف دیده

بخشی از تنش برشی اعمال شده به آمیزه حین فرایند اختلاط صرف شکست زنجیرهای الاستومری و بخش دیگر صرف جدایش و پراکنش انبوهه پرکننده می‌شود. اشاره شد، شکست زنجیرهای پلیمری باعث کاهش گرانزوی مونی آمیزه می‌شود. هم چنین، شکست انبوههای پرکننده نیز باعث آزاد شدن زنجیرهای محبوس و کاهش گرانزوی مونی آمیزه می‌شود.

به نظر می‌رسد هر چه طول زنجیرهای الاستومر بیشتر باشد، الاستومر نسبت به تغییر شکل عکس العمل بیشتری نشان داده و تنش‌های عمود تولید شده زیر کرنش بیشتر است. بنابراین، تورم پس از حذف دیده الاستومر برای زنجیرهای بلندتر بیشتر است. با بهبود پراکنش دوده و آزاد شدن زنجیرهای به دام افتاده انتظار می‌رود، تورم پس از حذف دیده افزایش یابد، زیرا زنجیرهای آزاد شده نیز در فرایند تولید تنش‌های عمود شرکت می‌کنند. هم چنین، پرکننده پراکنده شده در بین

پس اثر هیدرودینامیکی حذف می شود. در این مرحله نیز آمیزه ای که با کمترین گرانزوی مونی وارد فرایند اختلاط شده زمان اختلاط بیشتری دارد. بنابراین، کمترین تورم پس از حدیده مربوط به آمیزه M2-Test1 است. به همین ترتیب با افزایش زمان اختلاط کل، تورم پس از حدیده کاهش یافته است. چنان چه ساز و کار لاستیک محبوس و مقدار پراکنش پرکننده ساز و کار حاکم باشد، در این حالت نیز، چون مقدار پراکنش دوده با افزایش زمان اختلاط بهبود می یابد، انتظار می رود که تورم پس از حدیده افزایش یابد که نتایج عکس این موضوع را نشان می دهد و تورم پس از حدیده با افزایش زمان اختلاط کاهش یافته است، به دلیل این که شکست زنجیرهای پلیمری بیشتر بوده است.

مطالعه تورم پس از حدیده در مرحله نهایی

در مرحله نهایی نیز مقادیر تورم پس از حدیده آمیزه ها اختلاف ناجیزی با یک دیگر دارند. با مقایسه نتایج تورم پس از حدیده آمیزه های نهایی با زمان کل اختلاط ارائه شده در جدول ۲ مشاهده می شود، آمیزه ۱ که بیشترین زمان اختلاط را داشته است، کمترین تورم پس از حدیده را



(ب)

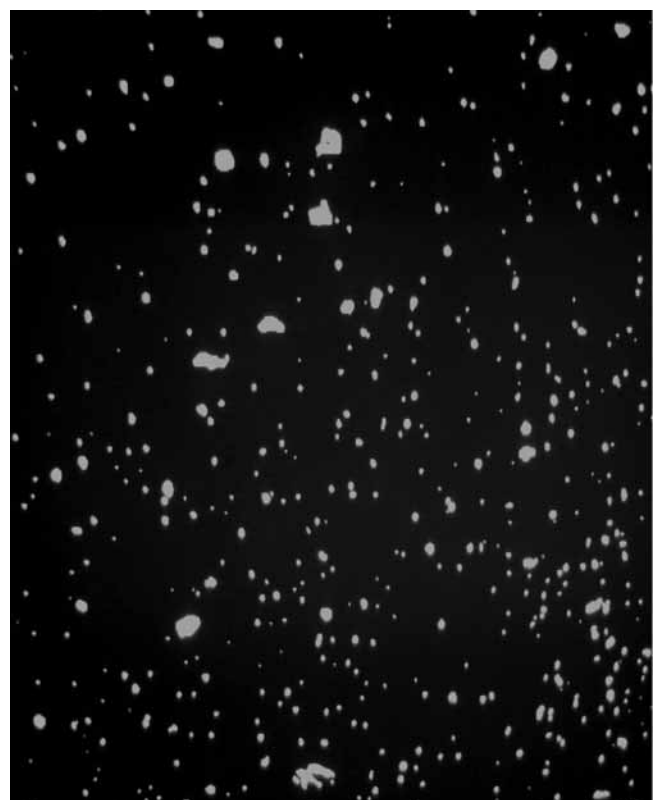
آمیزه 2 Test2 در مقایسه با دو آمیزه دیگر نیز مربوط به کاهش مقدار روغن بوده و از سه جنبه قابل بررسی است:

۱- اثر هیدرودینامیکی [۸]، بدان معنی که کاهش مقدار روغن در آمیزه به معنی افزایش سهم الاستومر است، بنابراین زنجیرهای پلیمری بیشتری در فرایندهای تغییر شکل شرکت کرده و تورم پس از حدیده افزایش می یابد.

۲- کاهش روغن باعث کاهش زمان اختلاط و کاهش زمان شکست زنجیرهای الاستومر می شود. شرکت الاستومر با زنجیرهای بلندتر در فرایند برشی حین اکستروژن باعث تورم پس از حدیده بیشتر می شود.

۳- کاهش مقدار روغن در آمیزه گرمای ویسکوز بیشتری حین اختلاط تولید می کند. افزایش دمای آمیزه باعث افزایش انعطاف پذیری زنجیرهای الاستومری و قابلیت بیشتر آنها در دفع تنفس و مقاومت بیشتر در برابر شکست می شود.

مطالعه تورم پس از حدیده در مرحله اصلی دوم
چون در این مرحله در آمیزه Test2 باقی مانده روغن اضافه می شود،



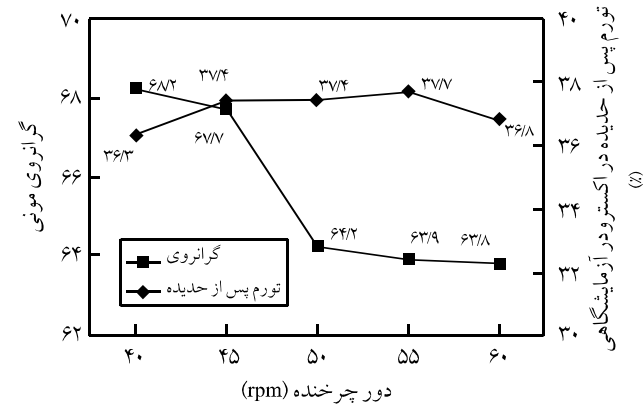
(الف)

شکل ۲ - تصاویر پراکنش پرکننده در آمیزه های نهایی با بزرگ نمایی X₁₀₀: (الف) Test1 با شاخص پراکنش ۶/۸، (ب) Test2 با شاخص پراکنش ۷/۶ و (ج) Test3 با شاخص پراکنش ۸/۶ (تغییر ترتیب اختلاط بر مقدار پراکنش پرکننده در آمیزه نهایی اثر اندکی داشته است).

است که اولاً سرعت برش با افزایش دور چرخنده افزایش یافته است و ثانیاً افزایش دور چرخنده باعث افزایش گرمای ویسکوز آمیزه شده و گرمای ویسکوز برهم کنش پرکننده - پرکننده را کاهش و پراکنش را اندکی بهبود میبخشد [۱۶، ۱۷]. از طرف دیگر، گرمای ویسکوز تولید شده باعث انعطاف‌پذیری بیشتر زنجیرهای الاستومر در برابر برش اعمال شده و شکست کمتر آنها می‌شود. این پدیده در کنار کاهش زمان اختلاط، افزایش جزئی در تورم پس از حذیده آمیزه‌ها را به دنبال دارد. منتهی این افزایش بسیار اندک است و در عمل با مصرف آمیزه‌های تولید شده در اکستروژن صنعتی، اختلاف اندکی در رفتار اکستروژن و نتایج وزن در متر رویه‌های تولید شده مشاهده شد.

می‌توان نتیجه گرفت تغییر دور چرخنده اثر قابل ملاحظه‌ای بر رفتار اکستروژن نداشته است و به کمک پارامتر تورم پس از حذیده نیز پیش‌بینی شده است.

میزان اعتماد به پارامتر گرانزوی مونی برای پیش‌بینی رفتار اکستروژن
معمولًا در صنعت لاستیک از پارامتر گرانزوی مونی برای کنترل رفتار اکستروژن آمیزه‌ها استفاده می‌شود، در حالی که نتایج این پژوهش نشان می‌دهد، این پارامتر به تنها یکی برای پیش‌بینی رفتار اکستروژن پذیری کافی نیست. در فاز اول تجربی مشاهده شد، آمیزه‌های اصلی ۱ و ۲ با اختلاف ۱۵ تا ۲۰ واحد مونی، تنها اختلاف ۲ تا ۳ واحدی در تورم پس از حذیده به هنگام مصرف در اکستروژن آزمایشگاهی دارند. تجربه عملی در اکستروژن دوبلکس نشان داده است، این اختلاف ۲ تا ۳ واحدی در تورم پس از حذیده چندان اثری بر رفتار اکستروژن آمیزه‌ها ندارد. تجربه کسب شده در فاز دوم تجربی این پژوهش نیز تایید کننده این مطلب بود و آمیزه‌های نهایی ترد بایاس با اختلاف ۵ واحد مونی



شکل ۴- اثر دور چرخنده بنبوری بر خواص فرایندی آمیزه رویه بایاس باری.

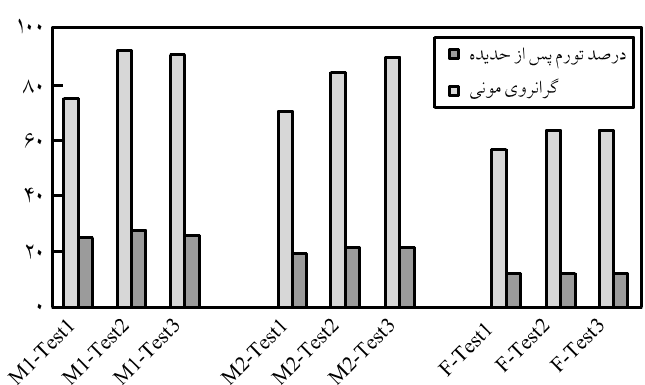
دارد. به همین ترتیب با افزایش زمان اختلاط کل، تورم پس از حذیده کاهش می‌یابد. با اندازه گیری مقدار پراکنش پرکننده‌ها در آمیزه نهایی به کمک دستگاه پراکنش سنج، مقادیر یکسان پراکنش پرکننده به دست آمد (جدول ۲). در دستگاه Dispargrader عدد ۱۰ برای بهترین پراکنش و صفر برای بدترین آن لحاظ می‌شود. برای هر سه آمیزه پراکنش حدود ۷ نشان داده است. نحوه پراکنش پرکننده در آمیزه‌های مزبور در شکل ۲ نشان داده شده است. مشابه حالت قبل آن چه که باعث تغییرات جزئی تورم پس از حذیده شده است، تغییر در میزان شکست زنجیرهای الاستومری است و آمیزه‌ای که کمترین زمان اختلاط کل را دارد، بیشترین تورم پس از حذیده را نیز دارد.

خلاصه نتایج فاز اول

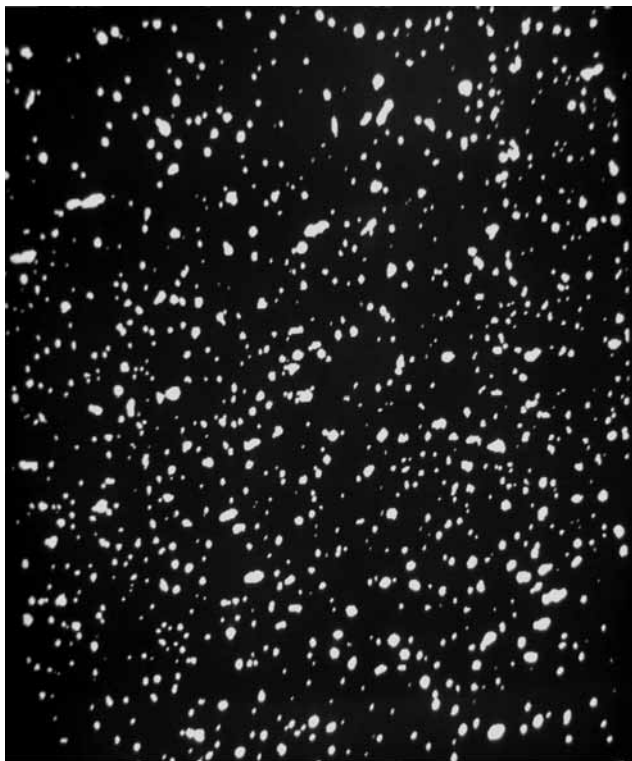
در شکل ۳ نتایج گرانزوی مونی و تورم پس از حذیده در مراحل مختلف اختلاط جمع‌بندی شده است که نشان‌دهنده عدم حساسیت تورم پس از حذیده به تغییر شرایط اختلاط در مراحل مختلف است، در حالی که گرانزوی مونی تغییرات مشخصی نشان می‌دهد.

نتایج فاز دوم، تغییر دور چرخنده مخلوط کن در آمیزه ترد بایاس

در شکل ۳ نحوه وابستگی پارامترهای گرانزوی مونی و تورم پس از حذیده به تغییر دور چرخنده اختلاط نشان داده شده است. اطلاعات کامل شرایط اختلاط و خواص رئولوژیکی و مقدار پراکنش پرکننده در جدول ۳ گردآوری شده است. تغییر دور چرخنده به مقدار ۲۰ rpm اثر خود را در تغییر ۵ واحدی گرانزوی مونی نشان داده است. در حالی که مقدار تورم پس از حذیده بدون تغییر باقی مانده است. با این که با افزایش دور چرخنده زمان اختلاط کاهش یافته است، ابتدا بهبودی جزئی در مقدار پراکنش پرکننده مشاهده می‌شود (شکل ۵) که به دلیل آن



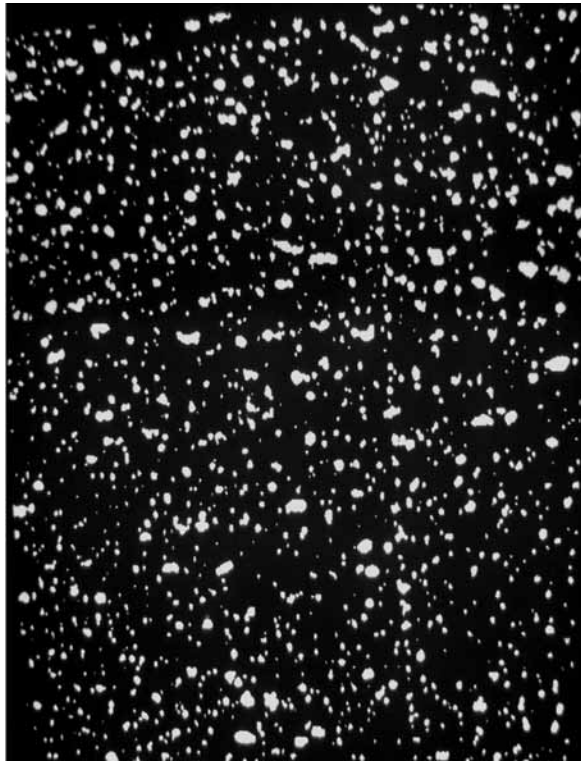
شکل ۳- اثر تغییر ترتیب اختلاط مواد بر گرانزوی مونی و تورم پس از حذیده آمیزه‌های لاستیکی رویه رادیال سواری در مراحل اصلی ۱، ۲ و نهایی.



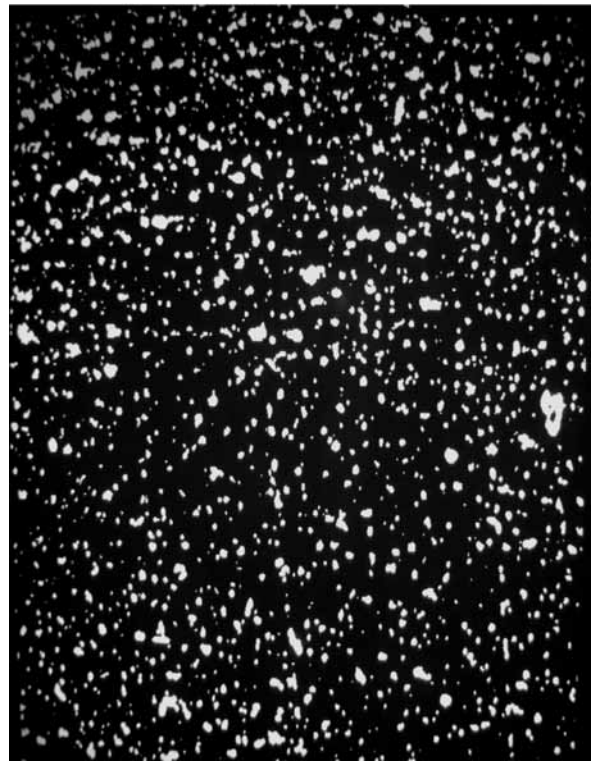
(ب)



(الف)



(د)



(ج)

شکل ۵ - تصاویر مقدار پراکنش در آمیزه رویه باری بایاس در بزرگ نمایی X_{100} با تغییر دور چرخنده: (الف) ۴۰ rpm و شاخص پراکنش ۴، (ب) ۵۰ rpm و شاخص پراکنش ۸/۴، (ج) ۵۵ rpm و شاخص پراکنش ۴/۴ و (د) ۶۰ rpm و شاخص پراکنش ۳/۷.

کشسان و رفتار تورم پس از حذیده آمیزه در فرایند اکستروژن به شمار می‌آیند. نتایج به دست آمده از این پژوهش نشان داد که تغییر در ترتیب اختلاط مواد در اختلاط سه مرحله‌ای و نیز تغییر در سرعت برش اختلاط یعنی تغییر دور چرخنده بنبوری، اثر اندازکی بر رفتار اکستروژن آمیزه دارد. این کار با اندازه‌گیری تورم پس از حذیده آمیزه‌ها به کمک اکسترودر آزمایشگاهی و سپس مصرف آمیزه‌های نهایی در اکسترودر صنعتی مشخص شد. هرچند با تغییر شرایط گفته شده مقادیر گرانزوی مونی آمیزه‌ها به طور قابل ملاحظه‌ای تغییر کرد. اما، تغییر در مقادیر تورم پس از حذیده چندان قابل توجه نبود. به نظر می‌رسد علت این رفتار مقدار پراکنش انبوهه‌های پرکننده باشد که روی مقدار گرانزوی مونی اثر زیادی دارد. در حالی که در فرایند اکستروژن به دلیل اعمال سرعت برش بیشتر این انبوهه‌ها شکسته می‌شود. از این‌رو، آن‌چه که بیشترین اثر را بر رفتار اکستروژن آمیزه‌ها دارد، طول زنجیرهای الاستومری و مقدار شکست این زنجیرها در فرایند اختلاط و نه مقدار پراکنش پرکننده است.

قدرتمند

از مدیر محترم کارخانه و معاون محترم تحقیقات شرکت کویر تاییر که امکان انجام این مطالعات را در مقیاس صنعتی فراهم کردند، نهایت تشکر و قدردانی می‌شود.

رفتار اکستروژن یکسانی در اکسترودر دوبلکس نشان دادند. با توجه به نتایج به دست آمده و بحث انجام شده مشخص است که علت این اختلاف را باید در مقدار اثر دو ساز و کار مقدار پراکنش پرکننده (لاستیک محبوس) و شکست کائوچو بر دو پارامتر گرانزوی مونی و تورم پس از حذیده جست و جو کرد.

همان طور که اشاره شده هر دو ساز و کار بر مقدار گرانزوی مونی اثر قابل توجه دارند، در حالی که تحلیل نتایج نشان داد، ساز و کار اول بر تورم پس از حذیده اثر کمتری دارد. به منظور مطالعه بیشتر این موضوع، سرعت برش اعمال شده به آمیزه‌ها در فرایند اکستروژن در اکسترودر آزمایشگاهی در دور مارپیچ 60° و مساحت قالب $2/42 \text{ cm}^2$ برای آمیزه‌های فاز اول محاسبه شد که در جدول ۴ ارائه شده است. سرعت برش اعمال شده به آمیزه در گرانزوی سنج مونی برابر 15° است. در این سرعت برش، امکان شکست شبکه‌های پرکننده میسر نیست. در حالی که پیش‌بینی می‌شود، سرعت برش اعمال شده به وسیله اکسترودر آزمایشگاهی (و نیز اکسترودر صنعتی) به اندازه‌ای است که باعث شکست شبکه‌های پرکننده می‌شود. بنابراین، با اختلاط و پراکنش انبوهه‌های پرکننده حين اکستروژن، اثر ساز و کار مقدار پراکنش پرکننده بر تورم پس از حذیده آمیزه خارج شده از دهانه اکسترودر لاقل در محدوده مورد مطالعه در این پژوهش کم رنگ شده است.

نتیجه‌گیری

معمولًاً متغیرهای فرایند اختلاط به عنوان عوامل اثرگذار بر حافظه

مراجع

1. Schaal S. and Corn A.Y., The Rheology and Processability of Tire Compounds, *Rubber Chem. Technol.*, **78**, 225-239, 2000.
2. Tokita N., Laboratory Simulation of a Factory Extrusion Process by the Die Swell Tester, *Rubber Chem. Technol.*, **54**, 439-448, 1981.
3. Vlachopoulos J. and Strutt D., *The Role of Rheology in Polymer Extrusion*, Elsevier, 2006 .
4. Pliskin J., Observation of Die Swell Behavior of Filled Elastomers Measured Automatically with a New Die Swell Tester, *Rubber Chem. Technol.*, **46**, 1219-1233, 1973.
5. Putman J.B. and Putman M.C., Processability Testing for Viscoelastic Materials, *Tire Technology Int.* 00, 60, 2003.
6. Leblanc J., Factors Affecting the Extrudate Swell and Melt Fracture Phenomena of Rubber Compounds, *Rubber Chem. Technol.*, **54**, 905-929, 1981.
7. White J.L., Elastomer Rheology and Processing, *Rubber Chem. Technol.*, **42**, 257-331, 1969.
8. Monthey S., The Influence of Carbon Blacks on the Extrusion Operation for Hose Production, *Rubber World*, 38-42, 2000.
9. Wang M.J., Effect of Polymer-Filler and Filler-Filler Interactions on Dynamic Properties of Filled Vulcanizates, *Rubber Chem. Technol.*, **71**, 520-589, 1998.
10. Wang M.J., The Role of Filler Networking in Dynamic Properties of Filled Rubber, *Rubber Chem. Technol.*, **72**, 430-447,

- 1999.
11. Tokita N., Laboratory Simulation of a Factory Extrusion Process by the Die Swell Tester, *Rubber Chem. Technol.*, **54**, 439-448, 1981.
 12. Karrabi M., Ghoreyshi M.R., and Bakhshandeh G., Rheological Study of Tread Compound, Part I: Determination of Wall Slip Coefficient and Elastic Swell Using Capillary Rheometer, *Iranian Polym. J.*, **13**, 317-325, 2004.
 13. Clark J. and Freakley P.K., Reduction in Viscosity of an SBR Compound Caused by Mastication and Disagglomeration During Mixing, *Rubber Chem. Technol.*, **67**, 700-715, 1994.
 14. Hiemenz, *Principles of Colloid and Surface Chemistry*, Marcel Dekker, New York, Chap.2, 64-69, 1977.
 15. Boonstra B.B. and Medalia A.I., *Rubber Age*, **92**, 892, 1963.
 16. Cotton G.R., Mixing of Carbon Black with Rubber. 1-Measurement of Dispersion Rate by Changes in Mixing Torque, *Rubber Chem. Technol.*, **57**, 118-133, 1984.
 17. Shiva M., Ahmadi M., and Yazdani R., Effect of Process Parameters of Mixing on Pysico-mechanical and Rheological Properties of Rubber Compound, *Iran. J. Polym. Sci. Technol. (Persian Ed.)*, **21**, 225-234, 2008.